

01;07;12

## Нестационарная двухпоточковая модель переноса излучения для томографии рассеивающих сред

© С.В. Селищев, С.А. Терещенко

Московский институт электронной техники,  
103498 Москва, Россия

(Поступило в Редакцию 18 декабря 1995 г.)

Сформулирована нестационарная двухпоточковая модель переноса излучения в неоднородной рассеивающей среде, примененная к ситуации облучения такой среды тонким лучом импульсного лазера. Показано, что при условии регистрации временного распределения прошедших фотонов возможно одновременное восстановление двух пространственных функций (коэффициентов поглощения и рассеяния излучения средой) с помощью обратного преобразования Радона и дополнительного решения набора нелинейных дифференциальных уравнений на линиях проецирования. Приведено аналитическое решение в квадратурах этих дифференциальных уравнений. Полученный результат представляет собой метод решения задачи оптической томографии в неоднородной рассеивающей среде.

### Введение

В последнее время появилось большое количество работ в области исследования возможности томографических подходов к восстановлению внутренних структур в сильнорассеивающих (мутных) средах [1,2]. Однако примеры сведения таких задач к известному преобразованию Радона были приведены только для слабо-рассеивающих (разреженных) сред [3]. При этом, как и в случае рентгеновской томографии, предполагалось облучение непрерывным оптическим пучком. Так как существенного продвижения в стационарном случае не видно, то естественно обратиться к нестационарным моделям взаимодействия излучения с веществом. Кроме того, результаты целого ряда экспериментальных работ [1,2], исследовавших прохождение оптических импульсов ультракороткой длительности через мутные среды, позволяют считать использование импульсного излучения одним из наиболее перспективных направлений в этой области.

Для теоретического описания прохождения оптического излучения через мутные среды используется, как правило, диффузионное приближение уравнения переноса как в стационарном, так и в нестационарном случаях [4,5]. На наш взгляд, диффузионное приближение плохо согласуется с томографической идеей просвечивания объекта тонкими лучами, так как при этом в значительной степени теряется информация о направлении зондирующего луча. Анализ распространения оптического импульса малой длительности в рассеивающей среде на основе нестационарного уравнения переноса в приближении однократного и двукратного рассеяния [6] малоприменим для сильно рассеивающих сред.

Для непрерывного оптического излучения в мутной среде часто используют приближение Кубелки и Мунка, основанное на модели двух световых потоков, распространяющихся в прямом и обратном направлениях [4]. Кажется бы, это приближение, так же как и диффузионное, можно обобщить на нестационарные процессы. Тем

не менее в настоящее время двухпоточковое (четырёхпоточковое) приближение используется только для анализа стационарных процессов.

Наиболее общим способом описания взаимодействия оптического излучения с веществом (после уравнений Максвелла) является уравнение переноса излучения [4]. Важнейшими характеристиками рассеивающей среды, входящими в уравнение переноса, являются коэффициент поглощения излучения  $\mu_a(\mathbf{r})$  и дифференциальный по углам коэффициент рассеяния излучения  $\mu_s(\mathbf{r}, \Omega' \rightarrow \Omega)$ , где  $\mathbf{r}$  – точка среды,  $\Omega'$  и  $\Omega$  – направления фотона до рассеяния и после рассеяния соответственно. Таким образом, в наиболее общей постановке задачи, можно говорить о восстановлении двух независимых функций, зависящих от трех ( $\mu_a(\mathbf{r})$ ) и семи ( $\mu_s(\mathbf{r}, \Omega' \rightarrow \Omega)$ ) переменных. Так как в такой постановке задача становится слишком трудной для решения, то, как правило, рассматриваются более простые модели и соответственно более простые объекты восстановления. Подчеркнем, что объект восстановления определяется теоретической моделью, выбранной для описания взаимодействия излучения со средой.

В соответствии с вышесказанным целью настоящей работы является рассмотрение нестационарной двухпоточковой моделью переноса излучения в неоднородной сильно-рассеивающей среде (СРС) и демонстрация возможности томографического восстановления определяемых этой моделью характеристик такой среды.

### Нестационарная двухпоточковая модель переноса излучения в неоднородной СРС

Вследствие сложности аналитического решения полного уравнения переноса обычно используются те или иные приближения. Используем представление о двух потоках фотонов, распространяющихся в противополож-

ных направлениях. В стационарном случае примером такого подхода является хорошо известная двухпотоковая модель Кубелки и Мунка [4].

Рассмотрим обобщение двухпотокового приближения на нестационарные процессы для описания распространения точечного мононаправленного импульса в полубесконечной неоднородной рассеивающей среде. Важным отличием нашего подхода от модели Кубелки и Мунка является не только нестационарность модели и неоднородность среды, но и применение к тонкому (коллимированному) лучу, в то время как обычно для сведения к одномерному случаю имеют в виду плоский однородный источник. Указанное обстоятельство приводит к определенному изменению физического смысла подлежащих восстановлению характеристик СРС.

Как принято в вычислительной томографии [7], введем неподвижную систему координат  $(x, y, z)$  и вращающуюся вокруг оси  $z$  систему координат  $(\xi, \zeta, z)$ . Уравнение переноса излучения в односкоростном приближении во вращающейся системе координат можно записать в следующем виде:

$$\frac{1}{\nu} \frac{\partial}{\partial t} \Phi(\mathbf{r}, \boldsymbol{\Omega}, t) + \boldsymbol{\Omega} \text{grad} \Phi(\mathbf{r}, \boldsymbol{\Omega}, t) + \mu(\mathbf{r}) \Phi(\mathbf{r}, \boldsymbol{\Omega}, t) - \int \Phi(\mathbf{r}, \boldsymbol{\Omega}, t) \mu_s(\mathbf{r}, \boldsymbol{\Omega}' \rightarrow \boldsymbol{\Omega}) d\boldsymbol{\Omega}' = S(\mathbf{r}, \boldsymbol{\Omega}, t), \quad (1)$$

где  $\nu$  — скорость света в среде;  $\Phi(\mathbf{r}, \boldsymbol{\Omega}, t)$  — плотность потока фотонов в точке  $\mathbf{r} = (\xi, \zeta, z)$  в момент времени  $t$ , движущихся в направлении  $\boldsymbol{\Omega}$ ;  $\mu_s(\mathbf{r}, \boldsymbol{\Omega}' \rightarrow \boldsymbol{\Omega})$  — дифференциальный по углам коэффициент рассеяния излучения;  $\mu_a(\mathbf{r})$  — коэффициент поглощения излучения;  $\mu(\mathbf{r}) = \mu_a(\mathbf{r}) + \int \mu_s(\mathbf{r}, \boldsymbol{\Omega}' \rightarrow \boldsymbol{\Omega}) d\boldsymbol{\Omega}'$ ;  $S(\mathbf{r}, \boldsymbol{\Omega}, t)$  — функция распределения источников излучения.

Будем рассматривать только те фотоны, которые движутся вдоль оси исходного луча. Так как возврат фотонов, рассеянных в сторону от оси, к движению вдоль оси маловероятен, то можно считать, что процесс рассеяния фотонов сводится к обратному рассеянию вдоль оси. Следовательно, коэффициент (обратного) рассеяния можно записать в виде  $\mu_s(\mathbf{r}, \boldsymbol{\Omega}' \rightarrow \boldsymbol{\Omega}) = m_s(\mathbf{r}) \delta(\boldsymbol{\Omega}' + \boldsymbol{\Omega})$ , где  $\delta(\cdot)$  — дельта-функция Дирака;  $m_s(\mathbf{r})$  — некоторая функция координат, которую мы будем называть одномерным коэффициентом рассеяния, имея в виду одномерность двухпотоковой модели, а также тот факт, что на оси лазерного пучка этот коэффициент является функцией только одной переменной. Кроме того, так как в этой модели для сохранения энергетического баланса рассеянные в стороны от оси  $x$  фотоны следует считать поглощенными, то и коэффициент поглощения  $\mu_a(\mathbf{r})$  необходимо заменить на некоторую функцию  $m_a(\mathbf{r})$ , которую будем аналогично называть одномерным коэффициентом поглощения. Обозначим  $m(\mathbf{r}) = m_a(\mathbf{r}) + m_s(\mathbf{r})$  и перепишем уравнение (1) в виде

$$\frac{1}{\nu} \frac{\partial}{\partial t} \Phi(\mathbf{r}, \boldsymbol{\Omega}, t) + \boldsymbol{\Omega} \text{grad} \Phi(\mathbf{r}, \boldsymbol{\Omega}, t) + m(\mathbf{r}) \Phi(\mathbf{r}, \boldsymbol{\Omega}, t) - \mu_s(\mathbf{r}) \Phi(\mathbf{r}, -\boldsymbol{\Omega}, t) = S(\mathbf{r}, \boldsymbol{\Omega}, t). \quad (2)$$

Для короткого импульса лазерного излучения, испущенного в момент времени  $t = 0$  из точки  $\mathbf{r}_0 = (\xi_0, \zeta_0, z_0)$ , можно записать  $S(\mathbf{r}, \boldsymbol{\Omega}, t) = U(\boldsymbol{\Omega}) \delta(\mathbf{r} - \mathbf{r}_0) \delta(t)$ . Будем считать, что лазерный импульс направлен вдоль оси  $\zeta$ . Обозначим  $\boldsymbol{\Omega}_0$  — направление вдоль оси луча. Так как мы будем рассматривать только те фотоны, которые движутся вдоль направления  $\boldsymbol{\Omega}_0$ , а рассеянные в стороны от этого направления фотоны считаются поглощенными, то можно записать  $\Phi(\mathbf{r}, \boldsymbol{\Omega}, t) = \Phi_0(\zeta, \boldsymbol{\Omega}, t) \delta(\xi - \xi_0) \delta(z - z_0)$ . Рассмотрим два направления  $\boldsymbol{\Omega} = \boldsymbol{\Omega}_0$  и  $\boldsymbol{\Omega} = -\boldsymbol{\Omega}_0$ . Тогда получим

$$\begin{aligned} \frac{1}{\nu} \frac{\partial}{\partial t} \Phi_0(\zeta, \boldsymbol{\Omega}_0, t) + \frac{\partial}{\partial \zeta} \Phi_0(\zeta, \boldsymbol{\Omega}_0, t) + m(\mathbf{r}) \Phi_0(\zeta, \boldsymbol{\Omega}_0, t) - \mu_s(\mathbf{r}) \Phi_0(\zeta, -\boldsymbol{\Omega}_0, t) &= U(\boldsymbol{\Omega}_0) \delta(\zeta - \zeta_0) \delta(t), \\ \frac{1}{\nu} \frac{\partial}{\partial t} \Phi_0(\zeta, -\boldsymbol{\Omega}_0, t) - \frac{\partial}{\partial \zeta} \Phi_0(\zeta, -\boldsymbol{\Omega}_0, t) + m(\mathbf{r}) \Phi_0(\zeta, -\boldsymbol{\Omega}_0, t) - \mu_s(\mathbf{r}) \Phi_0(\zeta, \boldsymbol{\Omega}_0, t) &= U(-\boldsymbol{\Omega}_0) \delta(\zeta - \zeta_0) \delta(t). \end{aligned} \quad (3)$$

Обозначая  $F_+(\zeta, t) = \Phi_0(\zeta, \boldsymbol{\Omega}_0, t)$ ,  $F_-(\zeta, t) = \Phi_0(\zeta, -\boldsymbol{\Omega}_0, t)$ ,  $U(\boldsymbol{\Omega}_0) = U_0$ , считая  $U(-\boldsymbol{\Omega}_0) = 0$  и учитывая источник в начальных и граничных условиях, получим основную систему уравнений для нестационарной двухпотоковой модели переноса излучения в неоднородной СРС

$$\begin{aligned} \frac{1}{\nu} \frac{\partial}{\partial t} F_+(\zeta, t) + \frac{\partial}{\partial \zeta} F_+(\zeta, t) + m(\mathbf{r}) F_+(\zeta, t) - \mu_s(\mathbf{r}) F_-(\zeta, t) &= 0, \\ \frac{1}{\nu} \frac{\partial}{\partial t} F_-(\zeta, t) - \frac{\partial}{\partial \zeta} F_-(\zeta, t) + m(\mathbf{r}) F_-(\zeta, t) - \mu_s(\mathbf{r}) F_+(\zeta, t) &= 0, \end{aligned} \quad (4)$$

$$F_+(\zeta_0, t) = U_0 \delta(t), \quad F_-(\zeta \rightarrow +\infty, t) = 0,$$

$$F_+(\zeta, 0) = 0, \quad F_-(\zeta, 0) = 0. \quad (5)$$

Выражение (5) определяет граничные и начальные условия.

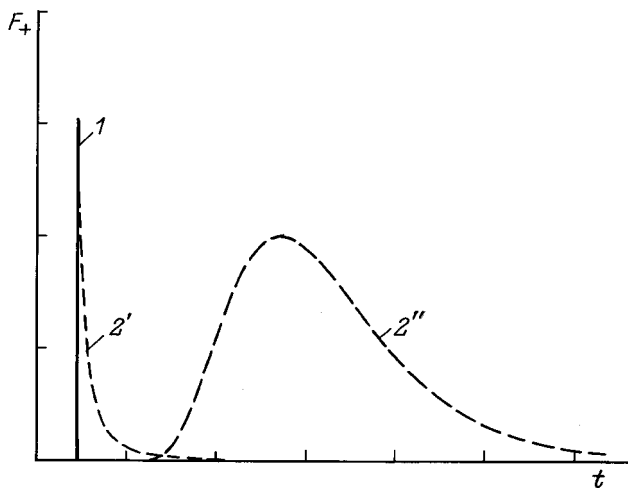
Рассмотрим решение системы (4) для однородной среды  $m(\mathbf{r}) = m = \text{const}$  и  $\mu_s(\mathbf{r}) = m_s = \text{const}$ . Исключая из системы (4)  $F_-(\zeta, t)$ , получим уравнение

$$\frac{1}{\nu^2} \frac{\partial^2}{\partial t^2} F_+ - \frac{\partial^2}{\partial \zeta^2} F_+ + \frac{2m}{\nu} \frac{\partial}{\partial t} F_+ + (m^2 - m_s^2) F_+ = 0, \quad (6)$$

решением которого является

$$\begin{aligned} F_+(\zeta, t) &= U_0 m \nu \delta(m \nu t - m \zeta') - \exp(-m \zeta') \\ &+ U_0 \eta(m \nu t - m \zeta') \frac{m_s \nu \zeta'}{\sqrt{(\nu t)^2 - \zeta'^2}} \\ &\times I_1 \left( m_s \sqrt{(\nu t)^2 - \zeta'^2} \right) \exp(-m \nu t), \end{aligned} \quad (7)$$

где  $\eta(\cdot)$  — функция Хевисайда,  $I_1(\cdot)$  — модифицированная функция Бесселя 1-го рода 1-го порядка,  $\zeta' = \zeta - \zeta_0$ .



**Рис. 1.** Типичное временное распределение короткого оптического импульса после прохождения рассеивающего слоя. 1 — баллистическая компонента, 2 — рассеянная компонента.

Выражение (7) можно считать приближенным описанием излучения, прошедшего через слой толщины  $\zeta'$ , причем первое слагаемое описывает нерассеянную (баллистическую) компоненту излучения, прошедшего через слой толщины  $\zeta'$ . Как и следовало ожидать, эта компонента подчиняется известному закону экспоненциального ослабления. Второе слагаемое описывает рассеянную компоненту излучения. Типичный вид временного распределения (7) показан на рис. 1. Вертикальная линия 1 соответствует нерассеянной компоненте. Рассеянная компонента имеет для малых толщин вид 2', а для больших толщин — вид 2''.

Относительную долю нерассеянной ( $U_+^{(ns)}$ ) и рассеянной ( $U_+^{(s)}$ ) компонент можно найти, проинтегрировав по времени каждое слагаемое в (7) в отдельности

$$U_+^{(ns)}(\zeta) = \int_0^\infty U_0 m \nu \delta(m \nu t - m \zeta') \exp(-m \zeta') dt = U_0 \exp(-m \zeta') = U_0 \exp[-m(\zeta - \zeta_0)], \quad (8)$$

$$U_+^{(s)}(\zeta) = \int_{\zeta'/\nu}^\infty \frac{U_0 m_s \nu \zeta'}{\sqrt{(\nu t)^2 - \zeta'^2}} I_1 \times \left( m_s \sqrt{(\nu t)^2 - \zeta'^2} \right) \exp(-m \nu t) dt = U_0 \left[ \exp\left(-\zeta' \sqrt{m^2 - m_s^2}\right) - \exp(-\zeta' m) \right] = U_0 \left[ \exp\left(-(\zeta - \zeta_0) \sqrt{m^2 - m_s^2}\right) - \exp\left(-(\zeta - \zeta_0) m\right) \right]. \quad (9)$$

### Оптическая томография рассеивающих сред в двухпотоковой модели переноса излучения

Для перехода к оптической томографии рассеивающих сред необходимо проанализировать распространение оптического импульса в неоднородной среде. Рассмотрим (рис. 2) обычную геометрическую схему измерений с параллельными проекциями [8]. Будем рассматривать коэффициенты поглощения и рассеяния в выделенной плоскости  $z = z_0$  в неподвижной системе координат  $(x, y, z)$ :  $m(x, y, z_0) = m(x, y)$ ;  $m_s(x, y, z_0) = m_s(x, y)$  и во вращающейся системе координат  $(\xi, \zeta, z)$  для каждого фиксированного  $\xi$ :  $m(x(\xi, \zeta), y(\xi, \zeta), z_0) = m(\zeta)$ ;  $m_s(x(\xi, \zeta), y(\xi, \zeta), z_0) = m_s(\zeta)$ . Тогда вместо уравнения (6) получим следующее уравнение:

$$\frac{1}{\nu^2} \frac{\partial^2}{\partial t^2} F_+ - \frac{\partial^2}{\partial \zeta^2} F_+ + \frac{1}{\nu} \left[ 2m(\zeta) + \frac{m'_s(\zeta)}{m_s(\zeta)} \right] \frac{\partial}{\partial t} F_+ + \frac{m'_s(\zeta)}{m_s(\zeta)} \times \frac{\partial}{\partial \zeta} F_+ + \left[ m^2(\zeta) - m_s^2(\zeta) + m(\zeta) \frac{m'_s(\zeta)}{m_s(\zeta)} - m'(\zeta) \right] F_+ = 0. \quad (10)$$

Проинтегрировав уравнение (10) по времени, можно найти уравнение для суммарной энергии прошедшего через рассеивающую среду импульса

$$U_+'' - \frac{m'_s(\zeta)}{m_s(\zeta)} U_+' - \left[ m^2(\zeta) - m_s^2(\zeta) + m(\zeta) \frac{m'_s(\zeta)}{m_s(\zeta)} - m'(\zeta) \right] U_+ = 0, \quad (11)$$

где

$$U_+(\zeta) = \int_0^\infty F_+(\zeta, t) dt \text{ и } U_+(\zeta_0) = U_0, \quad U_+(\zeta \rightarrow \infty) = 0.$$

Уравнения для нерассеянной ( $U_+^{(ns)}$ ) и рассеянной ( $U_+^{(s)}$ ) компонент имеют следующий вид:

$$[U_+^{(ns)}]'' - [m^2(\zeta) - m'(\zeta)] U_+^{(ns)} = 0, \quad (12)$$

$$[U_+^{(s)}]'' - \frac{m'_s(\zeta)}{m_s(\zeta)} [U_+^{(s)}]' - \left[ m^2(\zeta) - m_s^2(\zeta) + m(\zeta) \frac{m'_s(\zeta)}{m_s(\zeta)} - m'(\zeta) \right] U_+^{(s)} = -m_s^2(\zeta) U_0 \exp\left(-\int_{\zeta_0}^{\zeta} m(\chi) d\chi\right),$$

$$U_+^{(ns)}(\zeta_0) = U_0, \quad U_+^{(ns)}(\zeta \rightarrow \infty) = 0,$$

$$U_+^{(s)}(\zeta_0) = 0, \quad U_+^{(s)}(\zeta \rightarrow \infty) = 0. \quad (13)$$

Решением [9] уравнения (12), как и следовало ожидать, является закон экспоненциального ослабления

$$U_+^{(ns)} = U_0 \exp\left[-\int_{\zeta_0}^{\zeta} m(\chi) d\chi\right]. \quad (14)$$

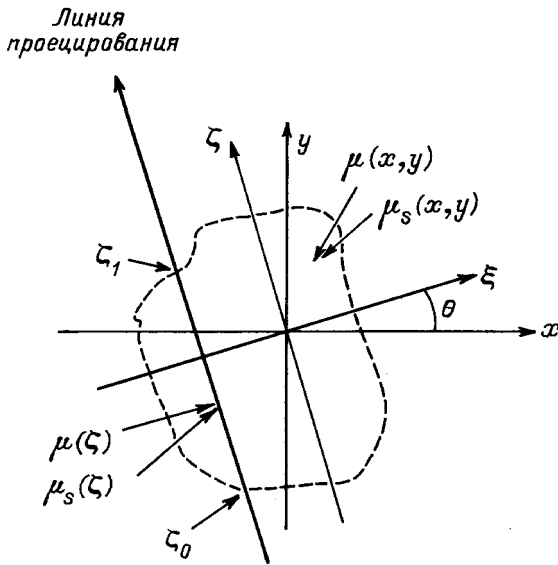


Рис. 2. Геометрическая схема измерений с параллельными проекциями в томографии.

Как известно [7], закон (14), или, что то же самое, уравнение (12), в задаче томографического восстановления двумерной функции  $m(x, y)$  приводит к обратному преобразованию Радона. А именно, применяя обратное преобразование Радона  $\mathfrak{R}^{-1}\{\cdot\}$  [7] к проекциям

$$p_+^{(ns)}(\xi, \theta) = -\ln \frac{U_+^{(ns)}(\zeta_1)}{U_0},$$

где  $\theta$  — угол поворота вращающейся системы координат  $(\xi, \zeta)$  относительно неподвижной системы координат  $(x, y)$ , а  $\zeta_1 = \zeta_1(\xi, \theta)$  — точка пересечения луча с границей среды (рис. 2), получим восстановленное изображение искомой функции  $m(x, y)$ . Однако в случае рассеивающей среды необходимо одновременно восстановить еще одну двумерную функцию  $m_s(x, y)$ . Одним из подходов [10] может служить постулирование пропорциональности как коэффициента поглощения  $m(x, y)$ , так и коэффициента рассеяния  $m_s(x, y)$  плотности среды  $n(x, y)$ , что сводит две неизвестные функции к одной. Можно предложить более общий подход. Будем считать, что в каждом измерении регистрируется временное распределение прошедших фотонов. Тогда из него можно выделить часть, соответствующую баллистическим (нерассеянными) фотонам, описываемую уравнением (12). Тогда, используя обратное преобразование Радона, получим одну из искомым функций  $m(x, y)$

$$m(x, y) = \mathfrak{R}^{-1}\{p_+^{(ns)}(\xi, \theta)\}. \quad (15)$$

Для нахождения второй неизвестной функции  $m_s(x, y)$  поступим следующим образом. Учитывая, что решение  $U_+(\zeta)$  уравнения (11) является неотрицательной функцией, его можно записать в экспоненциальной форме с

некоторой функцией  $M(\zeta)$

$$U_+(\zeta) = U_0 \exp\left[-\int_{\zeta_0}^{\zeta} M(\chi) d\chi\right]. \quad (16)$$

Применяя к проекциям

$$p_+(\xi, \theta) = -\ln \frac{U_+(\zeta_1)}{U_0}$$

обратное преобразование Радона, получим введенную функцию  $M(x, y)$

$$M(x, y) = \mathfrak{R}^{-1}\{p_+(\xi, \theta)\}. \quad (17)$$

Для нахождения связи между функциями  $m(x, y)$ ,  $m_s(x, y)$  и  $M(x, y)$  подставим выражение (16) в уравнение (11)

$$m'_s(\zeta) = \frac{m_s^3(\zeta)}{m(\zeta) - M(\zeta)} + \frac{M^2(\zeta) - M'(\zeta) - m^2(\zeta) + m'(\zeta)}{m(\zeta) - M(\zeta)} m_s(\zeta). \quad (18)$$

Так как функция  $m(x, y)$  уже известна, то для каждой линии проецирования можно найти  $m_s(x, y)$ , решая нелинейное дифференциальное уравнение (18) относительно  $m_s(\zeta)$ . Уравнение (18) является уравнением Бернулли, которое можно решить в квадратурах [11],

$$m_s(\zeta) = \frac{\exp\left(\int_{\zeta_0}^{\zeta} f_1(\chi) d\chi\right)}{\sqrt{C - 2 \int_{\zeta_0}^{\zeta} f_3(\chi) \exp\left(2 \int_{\zeta_0}^{\chi} f_1(\chi_1) d\chi_1\right) d\chi}}, \quad (19)$$

где

$$f_1(\zeta) = \frac{M^2(\zeta) - M'(\zeta) - m^2(\zeta) + m'(\zeta)}{m(\zeta) - M(\zeta)}, \quad (20)$$

$$f_3(\zeta) = \frac{1}{m(\zeta) - M(\zeta)}, \quad (21)$$

$$C = \frac{1}{m^2(\zeta_0) - M^2(\zeta_0)}. \quad (22)$$

Для полного восстановления функции  $m_s(x, y)$  достаточно вычислить значения  $m_s(\zeta)$  по формуле (19) по всем линиям проецирования при каком-либо одном значении угла поворота  $\theta$ . В частном случае при  $m_s(x, y) = \beta m(x, y)$  получим уравнение

$$m'(\zeta) = \frac{(1 - \beta^2)}{M(\zeta)} m_s^3(\zeta) - \frac{M^2(\zeta) - M'(\zeta)}{M(\zeta)} m(\zeta), \quad (23)$$

решением которого является  $m(\zeta) = \left(\sqrt{1 - \beta^2}\right)^{-1} M(\zeta)$ , что согласуется с ранее полученным результатом [10].

## Выводы

С целью упрощения задачи восстановления двух независимых функций, зависящих от трех (коэффициент поглощения) и семи (дифференциальные по углам коэффициент рассеяния излучения) переменных сформулирована нестационарная двухпотоковая модель переноса излучения в неоднородной рассеивающей среде, примененная к ситуации облучения такой среды тонким лучом импульсного лазера. Введены подлежащие томографической реконструкции и зависящие от математической модели характеристики рассеивающей среды, названные условно одномерными коэффициентами поглощения и рассеяния, но зависящие тем не менее от трех пространственных переменных. Показано, что при условии регистрации временного распределения прошедших фотонов возможно одновременное восстановление этих двух пространственных функций с помощью обратного преобразования Радона и дополнительного решения набора нелинейных дифференциальных уравнений на линиях проецирования. Приведено аналитическое решение в квадратурах этих дифференциальных уравнений. Таким образом, в данной работе, отталкиваясь от уравнения переноса излучения, предложен математический метод для реализации оптической томографии рассеивающих сред при их просвечивании тонкими лучами импульсного лазера.

## Список литературы

- [1] Proc. SPIE. Medical Optical Tomography: Functional Imaging and Monitoring / Ed. G.I.Muller et al. 1993. Vol. IS11.
- [2] Proc. SPIE. Theoretical Study, Mathematical, Experimental Model for Photon Transport in Scattering Media and Tissue. 1994. Vol. 2326.
- [3] Левин Г.Г., Вишняков Г.Н. Оптическая томография. М.: Радио и связь. 1989. 224 с.
- [4] Исимару А. Распространение и рассеяние волн в случай-нонеоднородных средах. М.: Мир, 1981. Т. 1. 280 с.
- [5] Любимов В.В. // Опт. и спектр. 1994. Т. 76. Вып. 5. С. 814–815.
- [6] Белянцев А.М., Долин Л.С., Савельев В.А. // Изв. вузов. Радиофизика. 1967. Т. 10. № 4. С. 489–497.
- [7] Наттерер Ф. Математические аспекты компьютерной томографии. М.: Мир, 1990. 288 с.
- [8] Федоров Г.А., Терещенко С.А. Вычислительная эмиссионная томография. М.: Энергоатомиздат, 1990. 184 с.
- [9] Ельшин М.И. // ДАН СССР. 1938. Т. 18. № 3. С. 141–145.
- [10] Селищев С.В., Терещенко С.А. // Письма в ЖТФ. 1995. Т. 21. Вып. 12. С. 24–27.
- [11] Камке Э. Справочник по обыкновенным дифференциальным уравнениям. М.: Наука, 1976. 576 с.